

气体激光

下册

上海人民出版社

气 体 激 光

(下 册)

《气体激光》编写组

上海人民出版社

气 体 激 光

(下 册)

《气体激光》编写组

上海人民出版社出版

(上海绍兴路 5 号)

上海书店上海发行所发行 上海商务印刷厂印刷

开本 787×1092 1/32 印张 10.375 字数 228,000

1976 年 2 月第 1 版 1976 年 2 月第 1 次印刷

统一书号：15171·196 定价：0.69 元

毛主席语录

列宁为什么说对资产阶级专政，这个问题要搞清楚。这个问题不搞清楚，就会变修正主义。要使全国知道。

自力更生为主，争取外援为辅，破除迷信，独立自主地干工业、干农业，干技术革命和文化革命，打倒奴隶思想，埋葬教条主义，认真学习外国的好经验，也一定研究外国的坏经验——引以为戒，这就是我们的路线。

通过实践而发现真理，又通过实践而证实真理和发展真理。

目 录

第五章 原子气体激光器	1
§ 5-1 氦-氖激光器的工作原理.....	2
§ 5-2 氦-氖激光器结构及其制造工艺.....	4
§ 5-3 特殊结构的氦-氖激光器	26
§ 5-4 氦-氖激光器的工作特性与输出特性	31
§ 5-5 其它原子气体激光器.....	51
第六章 分子气体激光器.....	59
§ 6-1 普通二氧化碳激光器的工作原理.....	61
§ 6-2 普通二氧化碳激光器的结构.....	72
§ 6-3 普通二氧化碳激光器的工作特性和输出特性.....	80
§ 6-4 流动二氧化碳激光器.....	99
§ 6-5 二氧化碳气动激光器	104
§ 6-6 高气压二氧化碳激光器	140
§ 6-7 其它分子激光器	159
第七章 离子气体激光器	167
§ 7-1 概况	167
§ 7-2 氩离子激光器的激发机理	169
§ 7-3 氩离子激光器的结构	177
§ 7-4 氩离子激光器的工作特性	189
§ 7-5 其它离子激光器	211
第八章 共振腔反射镜膜层的制备	221
§ 8-1 多层介质膜的反射率	221

§ 8-2 金属膜的反射率	227
§ 8-3 膜层制备工艺	230
第九章 激光调制	253
§ 9-1 调制的概念	253
§ 9-2 激光调制的种类	257
§ 9-3 电光调制	259
§ 9-4 声光调制	293
附录 I 部分气体激光器波长、跃迁一览表	304
附录 II 几个气体动力学参数简述	317
附录 III 一些镀膜材料的有关参数	322

第五章 原子气体激光器

氦-氖气体激光器是在 1960 年成功运转的第一个气体激光器，这以后气体激光器获得了飞跃的发展。在中性原子气体激光器方面，获得大量的激光跃迁，特别是最初几年，在这方面做了很多工作。能产生激光的原子种类很多，有惰性气体（氦、氖、氩、氪、氙）；某些金属原子蒸气（铜、锰、铅、锌、镉、铯、锡、汞等）；卤素气体或蒸气（氯、碘、溴等）以及其它一些元素气体或蒸气（例如氮、硫、碳、氧等）。

惰性气体原子激光器的辐射波长大部分分布在红外区，为数不多的几条在可见光区。在可见光区与近红外区的典型输出功率为 10 毫瓦的数量级，波长在 10 微米以上的输出功率较低，在微瓦到毫微瓦的范围。在电激发过程中除少数应用共振能量转移效应外，其余大部分都是通过电子非弹性碰撞直接进行激发的。就输出方式说有连续的，也有脉冲的。在金属原子蒸气激光器中，激光多以脉冲方式输出，有许多波长分布在可见光区与近红外区。在卤素蒸气的原子激光跃迁中，近来利用 C_3F_7I 的光化学分解效应，使碘在 1.315 微米 ($^2P_{1/2} \sim ^2P_{3/2}$) 的激光脉冲输出功率高达 1.2×10^9 瓦，脉冲宽度仅为 10^{-8} 秒，估计以后还会有新的提高。

目前在原子气体激光器中以氦-氖激光器应用得最为普遍，因此在其基本特性、器件寿命及输出频率稳定技术等方面，都做了大量研究工作。本章也着重介绍氦-氖激光器。

§ 5-1 氦-氖激光器的工作原理

在图 5-1 中画出了氦-氖激光器能级结构简图，图中用 LS 耦合表示氦原子能级符号，氖原子能级用帕邢表示法。氦原子最低的两个能级为 1S_0 与 3S_1 。氖原子基态是 $(2p)^6$ ，激发态是 $1S$ 、 $2S$ 、 $3S$ 、… 及 $2P$ 、 $3P$ 、… 等。

氖的 $1S$ 、 $2S$ 、 $3S$ 、… 态都是由四个子能级组成， $2P$ 、 $3P$ 、… 都是由十个子能级组成。 $2S$ 态与基态有光学联系(主要指 $2S_2$)

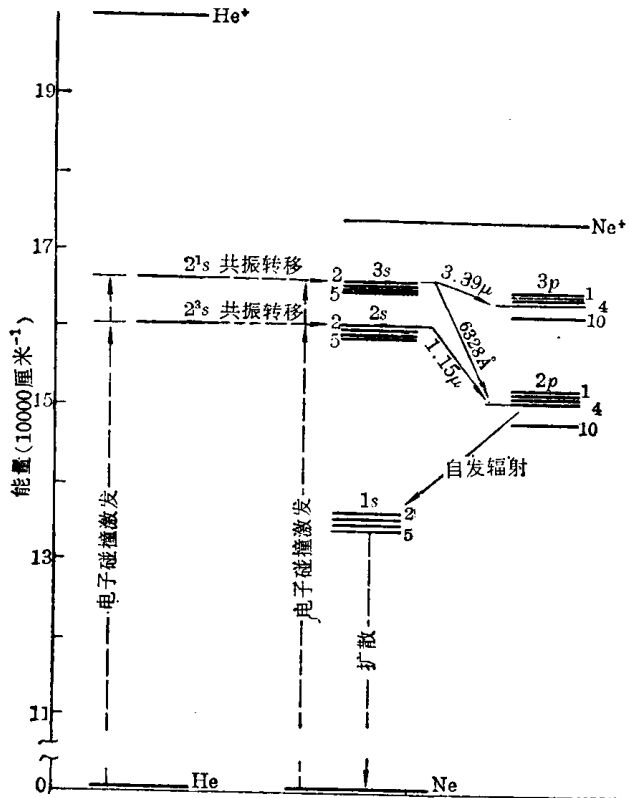


图 5-1 氦-氖激光器能级简图

与 $2S_4$, 而 $2S_3$ 与 $2S_5$ 往基态跃迁一般是禁戒的), 但在气体压强不太低时, 在 $2S$ 态与基态之间发生的共振俘获效应变得比较显著, 即当处于 $2S$ 态的氖原子辐射跃迁到基态时, 它所发射的光子在未离开容器(例如放电管)之前, 又被另外的基态氖原子所吸收, 并被激发到 $2S$ 态。共振俘获等效地延长了 $2S$ 态的寿命, 因此 $2S$ 态的寿命主要是由到 $2P$ 态的跃迁速率所决定。在偶极跃迁近似下, $2P$ 态与基态无光学联系, 但 $2P$ 态到 $1S$ 态的辐射速率极快。根据测量结果, 我们把 $2S$ 与 $2P$ 的各子能级寿命列于表 5-1 中。由表显见, $2S$ 态各子能级寿命比 $2P$ 态约高一个数量级。因此从能级寿命来看, 在 $2S$ 与 $2P$ 的子能级之间是有利实现粒子数反转的。

表 5-1 氖($2S$)^{*}与($2P$)态的寿命(毫微秒)

$2S_2$	$2S_3$	$2S_4$	$2S_5$	$2P_1$	$2P_2$	$2P_3$	$2P_4$	$2P_5$	$2P_6$	$2P_7$	$2P_8$	$2P_9$	$2P_{10}$
96	160	98	110	<8	<10	<13	12	<11	13	<13	16	17	<20

* $2S$ 值相当于 1 毫压强的氖, 并且由于碰撞效应使 $2S$ 值稍微短些($\gtrsim 30\%$)。

$2S$ 态的粒子数主要有下列几个来源:

第一个来源是所谓共振能量转移过程。由图 5-1 可看出, 氖的 2^3S 态与氖的 $2S$ 态很接近, 仅相差 $0.04 \sim 0.15$ 电子伏特。而氖的 2^3S 是一个亚稳态。在气体放电过程中, 处于 2^3S 的氖原子与基态氖原子碰撞, 由氖原子转移能量来激发氖原子到 $2S$ 态的几率很大。而 $2P$ 态与 2^3S 能量相差较多, 上述过程对 $2P$ 态积累粒子数的贡献可以忽略。

第二个来源是气体放电过程中, 基态氖原子与具有一定动能的电子进行非弹性碰撞直接被激发到 $2S$ 态, 而 $2P$ 态与基态无光学联系, 因此直接由基态获得激发的几率很小。氖

气体中加进氮气时，放电的电子数目比纯氖气放电时大大增加，同时也提高了电子温度，这进一步增加了直接激发过程的速率。但是与共振能量转移过程相比，这种过程只占次要的地位。

第三个来源是串级跃迁，即原子从较高的能级依次跃迁到 $2S$ 态，但同前述两种过程相比较，此过程的贡献比较小。

根据跃迁法则，在 $2S$ 态与 $2P$ 态之间有 30 种可能跃迁，相应的波长范围是 $0.89 \sim 1.7$ 微米。实验尚未观察到全部的跃迁。在这些跃迁中，实验发现波长 1.15 微米的激光最强。

应当指出，氖的 $1S$ 态是亚稳态，如果激光器运转条件不适当，例如放电毛细管内径太粗、氖气压强太高或放电电流太大等，会使 $1S$ 态粒子数过于大，这就加强了在 $2P$ 与 $1S$ 之间的共振俘获效应；同时电子碰撞使从 $1S$ 态激发到 $2P$ 的速率也增加。结果是延长了 $2P$ 态的寿命，降低了能级粒子数反转值，甚至使激光停止振荡。 $1S$ 能级是通过扩散与容器壁碰撞把能量交给器壁而回到基态的，增益近似与放电管内径成反比的效应与此过程有关系。

$3S \rightarrow 3P$ 与 $3S \rightarrow 2P$ 的激光跃迁原理和 $2S \rightarrow 2P$ 类似，这里不再赘述，但此时是靠氦原子 2^1S 能级共振能量转移实现的，它与氖的 $3S$ 态能级极为接近。在 $3S \rightarrow 3P$ 的一系列跃迁中，波长为 3.39 微米 ($3S_2 \rightarrow 3P_4$) 的激光最强；在 $3S \rightarrow 2P$ 的一系列跃迁中，最强的激光是 6328 埃 ($3S_2 \rightarrow 2P_4$)。

§ 5-2 氦-氖激光器结构及其制造工艺

(一) 器件结构简介

这里我们仅介绍输出激光波长为 6328 埃的器件结构，其

它几个输出波长的器件结构与此相类似。激光器结构分三大部分，即放电管，共振腔和激发电源。根据使用要求的不同，具体结构形式是多种多样的，图 5-2 所示为常见的几种。图中， R_1 与 R_2 是镀有多层介质膜的反射镜，组成共振腔；两片反射镜之间的部分是气体放电管（或称等离子体管），管内充有一定总气压和一定氦氖混合比的气体； D_1 和 D_2 是电极。为简单起见，图中未画出激发电源。

在图 5-2 中的（一）（二）（六）中，组成共振腔的两面反射镜与放电管彼此分离，这种结构常称之为外腔式；在（三）（四）图中，反射镜密贴在放电管两端，常称之为内腔式；而在图（五）中，其左端为内腔式，右端为外腔式，常称之为半内腔式或半外腔式。

在外腔式放电管两

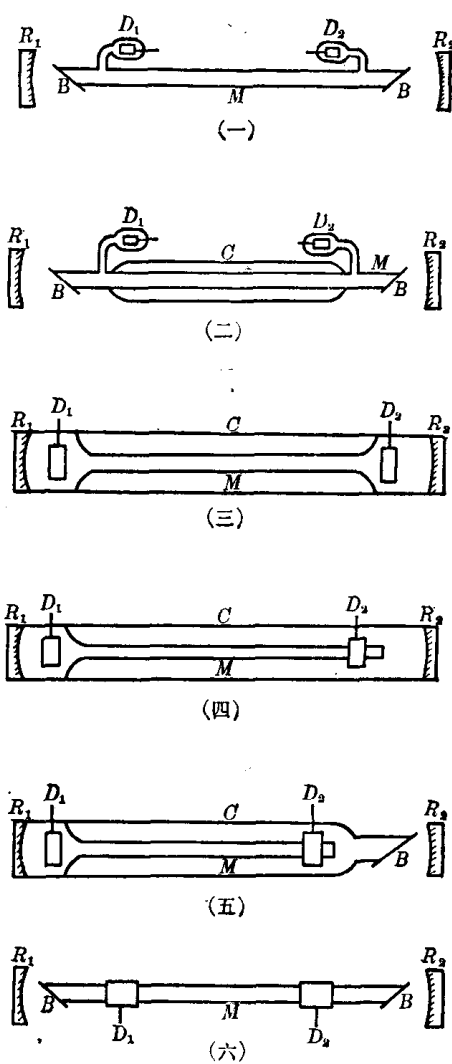


图 5-2 氦-氖 6328 埃气体激光器
几种结构示意图

端或半外腔式的外腔一端，是用两块玻璃片依照一定角度（即布儒斯特角）把放电管密封起来的，如图 5-2 中 *B* 所示部分，并称为布儒斯特窗口。

图 5-2(六) 的结构是由射频电源激发的器件，电极是包在放电管外部的一组金属片（图中仅画出两个），通过它们把频率为 30 兆赫左右的电磁场传输到管内部。此种形式的放电管称为外电极式；而图 5-2 所示其它放电管叫内电极式。

在图 5-2 的(三)(四)(五)中，电极与放电管同轴，称为同轴式电极；而在(一)(二)中，电极在放电管旁侧，称为旁轴式电极。图中前五种放电管，都可做成旁轴式电极或同轴式电极，视具体情况而定。

图 5-2 中 *M* 所示部分，即放电管中央的细管，常称它为毛细管，尽管在某些氮-氖激光器中，这根管内径可粗达 1 厘米，但习惯上仍称其为毛细管。套在毛细管外边较粗的管子，即图中 *C* 所示部分，称为储气管，图(一)(六)的结构是没有储气管的。

用交流电源激发放电时，通常采用如图(二)(三)的结构，使毛细管两端有两个喇叭口。如果用(四)(五)的结构，其毛细管一端是开放的，往往容易造成放电不稳定。

下边分别介绍各部分的构造。

1. 放电管

放电管相当于气体激光器的心脏，其好坏直接影响激光器输出特性与寿命，因此做好放电管是制造气体激光器的关键。

放电管材料 对放电管材料的要求一般有以下几个方面。第一要有很好的真空气密性能，这是维持激光器正常运转的首要条件；第二要有很好的化学稳定性，经得住气体放电的侵

蚀；第三要有较好的电学绝缘性能，同时易于和某些作为电极引出线的金属(例如钨)封接；此外还要求真空吸气和放气速率小、容易加工以及有一定的机械强度等。

玻璃是满足上述要求的一种比较常用的材料，但它也有一些缺点，例如较脆，经不起剧烈冲击等。

目前较常用的玻璃有熔融石英玻璃(简称为熔石英)与硬质玻璃，而硬质玻璃中应用最广泛的是GG17玻璃(简称为17料)与95玻璃(简称为95料)。几种常用材料的性能列于表5-2中。

表5-2 几种玻璃材料的性能

名 称	线膨胀系数 (室温) $\times 10^{-7}$	软化 温 度	骤变温度*	机 械 强 度
熔石英	~5	~1500°C	>1000°C	最 好
17 料	28~32	~820°C	~310°C	次于熔石英
95 料	37~41	750°C	260~290°C	次于 17 料
3C-11	36	598°C		

* 系指材料骤冷骤热时破裂的温度。

熔石英的线膨胀系数较小，用它吹制的放电管组件一般情况下不必退火；而用硬玻璃时都需要退火，以消除吹制过程中形成的各种应力。但是熔石英成本较高，因此仅用于某些特殊用途的器件。射频放电激发的器件也常用熔石英做放电管的管壁材料。

电极 电极的好坏，在很大程度上影响着激光器的寿命。氮-氖激光器放电工作区域在辉光放电区，放电电流并不高，通常在100毫安以内，但是，在气体放电过程中，被电场加速的正离子轰击阴极，引起了阴极的溅射与蒸发，这些飞离阴极

的金属原子又沉积在附近的玻璃管壁上，导致了对部分工作气体的吸收或吸附，使放电管内的工作气体压强不断降低（有时称之为气体清除效应）。氦-氖激光器的工作气压本来就很低（一般是1毫的数量级），这样一来就很容易使工作气压偏离最佳值。因此减小阴极溅射是提高氦-氖激光器寿命的重要工作。由于电子质量比正离子小得多，故由阳极造成的危害比阴极小得多。

初期的器件常用热阴极，例如钡钨阴极或氧化物阴极，后来逐渐被冷阴极所代替，只在有特别要求的器件中还使用热阴极。虽然冷阴极溅射现象比热阴极显著些，发射电流也不如热阴极那样稳定，但它有结构简单、加工容易、成本低以及不易损坏等特点，这比价格昂贵、使用麻烦、易于损坏的热阴极优越得多。冷阴极有几种类型，有直接使用放电溅射较小的金属制成的；有涂氧化物层的。前一类比较流行，下面主要介绍这类冷阴极的特性。

第三章我们介绍过，铝、镁、钽等金属溅射最弱。这是因为在其表面形成一层牢固的氧化膜，有效地防止了离子轰击造成的侵蚀。这些金属材料做成的电极在使用前通常先进行所谓“氧化”过程，即在放电管中充入几个毫的氧气或空气，进行一定时间的放电，电流大小视金属种类与电极表面大小而定，通过此种手续使电极表面完全形成氧化膜。这三种金属的发射性能也较好，在阴极表面附近，由于正离子入射形成很高的电场梯度，这就使阴极电子易于穿过金属表面位垒（隧道效应）透过氧化膜发射出去。钽价格较贵，用得较少。镁的溅射虽小，但在接近 400°C 时即开始显著蒸发（熔点 650°C ），使电极的高频烘烤除气手续很难进行，这大概是镁不为人们重视的一个重要原因。目前用得较多的是铝，另外还有钼。

铝的电子发射性能较钼好，成本也很低。高级纯铝（含量由99.5%到99.8%）的阴极溅射与蒸发比工业纯铝小得多。在真空中即使达到其熔点(658℃)也无显著蒸发。其缺点是熔点较低，使阴极高频烘烤除气较难掌握；另外铝之间及铝和其它金属之间的焊接工艺也较复杂。

钼的溅射现象虽比铝显著，但其熔点较高(2625℃)，在真空中到1900℃以上蒸发现象才显著，因此较容易对冷阴极进行高频烘烤除气；另外钼与钼及其它金属之间的焊接工艺较铝容易，因此目前很多氦-氖激光器的冷阴极都采用钼。

冷阴极形状一般做成圆筒状，然后点焊上一根金属杆（常用钨）作引出线。圆筒大小与放电电流有关，但是通常做得稍大些，以减少放电溅射。在电流较小时（例如几个毫安），用钨杆本身作阳极即够了。钼筒可用厚0.1毫米左右的钼片点焊而成，然后点焊上直径约一毫米的钨杆作引出线。直接进行这些点焊较困难，往往用极薄的钽片或镍片做过渡料。我们把几种常用的金属材料的点焊情况列于表5-3中，以便读者应用查对。

因为钨杆膨胀系数（在室温为 44×10^{-7} ）与95料接近，可以直接把二者封接起来，为保证密封性能，通常在钨杆与95料间加用一种膨胀系数介于二者之间的玻璃（例如钨玻璃）作过渡料。当钨杆直径小于1毫米时，可先磨光、清洗其表面，再稍加热使其表面氧化到显蓝绿色为宜，然后套一小段薄壁玻管于这段钨杆上，用火头从一端烧到另一端，使玻管以玻珠形状牢牢粘结在钨杆上，此时钨杆表面应呈橙黄色或金黄色（即为钨的氧化物溶于玻璃后生成的钨酸钠的颜色），若呈灰色则表示封接时温度太高了。因为钨杆有纤维状结晶结构，故在截断钨杆时不要用切割法，否则易形成纵向裂缝引起

表 5-3 几种金属的点焊性能

金属 II	金 属 I								
	锆	铝	铜	可伐	镍	铂	钼	钽	钨
钨	2	4	4	3~4	2	2	F 3~4↓	3~4S	F 3~4
钽		3~4	3~4S	2~3	2	2	3~4,S	3S	
钼	2	4	4	3	2	2	F 3~4↓		
铂		3~4	2	2	1	1			
镍	2	3~4	3	2↓	1				
可伐		3~4	3~4↓	3↓					
铜		4	3~4S						
铝		3							
锆	2 S E								

[注] 表中符号:

1—一点焊极好；2—一点焊较好；3—难点焊；4—不良或不能点焊。

S—在保护液体下(例: 酒精、四氯化碳等)可能点焊。

E—在惰性气体下可能点焊。

F—有钽做过渡材料可以点焊。

↓—用间流管电路能良好点焊。

↓—用间流管-瞬时调整装置可焊接 $\phi 1.0$ 毫米的金属丝。

漏气, 一般用磨削法截断, 亦用氢氧焰把有关部位烧成白炽状态后再割断或折断。当钨杆直径比 1 毫米大得多时, 通常先行高温除气(例如烧氢法)然后封接, 这样可防止由钨杆内部逸出的许多微小气泡附在其表面引起漏气。钨杆与 17 料封接时须加用膨胀系数介于二者之间的一种到两种玻璃作过渡料, 否则易形成裂缝使封接失败。

储气管 氦-氖激光器储气管直径在 2~5 厘米, 具体尺寸视毛细管几何尺寸而定。储气管与毛细管的气体是通过在毛

细管上开一个小孔或者使毛细管一端开放来连通在一起的。储气管的主要用途是稳定工作气压、稳定输出特性与延长激光器寿命。这很显然,如前所述,电极溅射、管壁吸收与吸附、气体扩散效应等使管内气压不断降低;另外在放电过程中,由于带电粒子对管壁的轰击,也会使气压在一定范围内波动。尺寸较小的激光器这些现象更显著些。第二个用途是起着支架毛细管的作用,使毛细管不易弯曲。在内腔式氮-氖激光器中(如图 5-2 所示),储气管还把反射镜与毛细管依照一定的排列精度固定起来,以维持激光器正常工作。

射频激发式氮-氖激光器也常加上储气管。但在这种情况下,储气管与毛细管往往并列连通在一起,其作用仍不外乎上面所述的那些。

毛细管 毛细管是产生激光增益的区域,毛细管的几何尺寸决定着激光器的最大增益。当 $gl \ll 1$ 时(氮-氖激光器通常满足此条件),单程纯增益 $G = \frac{\Delta I}{I_0} \approx gl$, 即单程纯增益正比于毛细管长度;根据实验结果增益系数又反比于毛细管内径。直径较细的放电管往往有较高的增益,但也不能选得太细,一方面内径太小给调节共振腔带来麻烦;另一方面,根据共振腔理论,毛细管太细时单程衍射损耗太大,因此最佳内径一般通过实验来选择。在表 5-4 中列出几个数据供参考。

表 5-4 毛细管几何尺寸表

毛细管长度(厘米)	毛细管内径(毫米)
5	0.5
15~20	1~1.5
30~40	2~3
70~80	4
100	5
150	7~8
500	10